

بررسی دینامیک گذارهای آبشاری اتمهای میوندار با استفاده از روش چند گروهی

سید ظفرالله کلانتری^۱ و محمد هادی پیراحمدیان

۱. دانشکده فیزیک، دانشگاه صنعتی اصفهان، اصفهان

(دریافت مقاله: ۱۳/۷/۸۴؛ دریافت نسخه نهایی: ۱۰/۳/۸۵)

چکیده

در این مقاله یکی از اتمهای اگزوتیک، یعنی اتمهای میوندار مورد بررسی قرار گرفته‌اند. از نتایج این تحقیق، دست یافتن به روشی است که بتوان با گسترش آن از جمله در نظر گرفتن اندرکشتهای قوی با هسته، دیگر اتمهای اگزوتیک را مورد بررسی قرار داد. علاوه بر این، بررسی سینماتیک گذارهای اتمهای میوندار در محاسبات دقیقتر همچو شی کاتالیزور میونی نقش اساسی دارند. لازم به ذکر است که در این مقاله بر خلاف کار دیگران انرژی جنبشی اتمهای میوندار در طی فرآیندهای گذار، ثابت در نظر گرفته نشده است و برای این منظور از روش گروه‌بندی انرژی استفاده کردند. شایان ذکر است که روش گروه‌بندی انرژی ما قادر ساخته است تا علاوه بر اینکه تأثیر انرژی جنبشی اتمهای میوندار را در فرآیندهای برخوردي گذار به حساب بیاوریم، بتوانیم طیف انرژی جنبشی اتمهای میوندار در حالت پایه را نیز استخراج کنیم.

واژه‌های کلیدی: اتمهای اگزوتیک، اتمهای میوندار، همچو شی کاتالیزور میونی، گذارهای آبشاری

۱. مقدمه

وقتی ذرات منفی سنگیتر از الکترون مثل (e^- , μ^- , π^- , ...) در ماده تزریق شوند، در طی متوقف شدن جای الکترون اتمی می‌نشینند و اتمهایی تشکیل می‌دهند که به آنها اتمهای اگزوتیک^۱ گفته می‌شود. این اتمها به دلیل جرم زیاد این ذرات، ابتدا در حالت‌های بسیار برانگیخته تشکیل شده و طی فرآیندهای آبشاری^۲ سریعاً به حالت‌های پایین‌تر انرژی گذار می‌کنند (مثلاً اتم کایوندار در تراز $n=25$ در حالت برانگیخته تشکیل می‌شود).

بررسی اتمهای اگزوتیک از جنبه‌های مختلف حائز اهمیت است؛ از جمله بررسی اندرکشتهای قوی این ذرات با هسته و بررسی بعضی از جنبه‌های QCD در انرژیهای پایین در این

۱. Exotic atoms

۲. Cascade processes

اتمهای امکان‌پذیر است [۱]. علاوه بر این، بررسی اتمهای میوندار که یک نوع از اتمهای اگزوتیک است، در همچو شی کاتالیزور میونی اهمیت دارد. در این مقاله یکی از اتمهای اگزوتیک، یعنی اتمهای میوندار مورد بررسی قرار گرفته‌اند. از نتایج این تحقیق، دست یافتن به روشی است که بتوان با گسترش آن از جمله در نظر گرفتن اندرکشتهای قوی با هسته، دیگر اتمهای اگزوتیک را مورد بررسی قرار داد. علاوه بر این، بررسی سینماتیک گذارهای اتمهای میوندار در محاسبات دقیقتر همچو شی کاتالیزور میونی (CF) نقش اساسی دارند؛ زیرا تشکیل مولکولهای میوندار به انرژی برخوردي آنها با مولکولهای محیط واپسی است و تابع توزیع انرژی اتمهای میوندار نیز توسط فرآیندهای گذار و پراکندگی کشسان تعیین می‌شود.

انتقال^۲، پراکندگی کشسان^۳، مخلوط شدگی استارک^۴ و گذارهای تابشی^۵ نیز باعث والنگیخته شدن اتم میوندار از حالت‌های برانگیخته به حالت‌های پاییتر می‌شوند که در قسمت بعد، این گذارها را به طور مفصلتری توضیح خواهیم داد. اتم میوندار در زمان کمتر از 10^{-11} به حالت پایه خواهد رسید. رسیدن به حالت پایه در حقیقت شروع چرخه $\mu\text{CF}\mu$ و فرآیندهای مربوط به همجوشی کاتالیزر میونی است [۳ و ۴]. چون فرآیندهای گذار بسیار سریع اتفاق می‌افتد، امکان تشکیل مولکول برای اتمهای میوندار در طی گذار آبشاری خیلی کم است؛ ولی پس از رسیدن به حالت پایه، شروع تشکیل مولکول میوندار و فرآیندهای همجوشی کاتالیزر میونی است. آهنگ تشکیل مولکول میوندار بسیار وابسته به انرژی جنبشی اتمهای میوندار در حالت پایه است؛ پس دانستن چگونگی طیف انرژی جنبشی اتمهای میوندار در زمان رسیدن به حالت پایه در بررسی چرخه $\mu\text{CF}\mu$ مهم است.

در این مقاله ابتدا فرآیندهای والنگیختگی اتمهای $d\mu$ و $t\mu$ بررسی شده‌اند. سپس معادلات حاکم بر جمعیت اتمهای میوندار در تمام زیر حالت‌های $n \leq 12$ نوشته شده‌اند. لازم به ذکر است که در این مقاله برخلاف مرجع [۵] انرژی جنبشی اتمهای میوندار ثابت در نظر گرفته نشده است و از روش گروه‌بندی انرژی استفاده کرده‌ایم، به طوری که معادلات سینماتیکی حاکم بر جمعیت اتمهای میوندار را در هر تراز n به 10 گروه انرژی جدا کرده‌ایم. برای این منظور آهنگ هر یک از فرآیندهای گذار برخوردی اوژه، کولمب، انتقال میون و پراکندگی کشسان را در هر یک از گروههای انرژی استخراج کرده و در معادلات به کار برده‌ایم. با این روش وابستگی انرژی آهنگ گذارهای اتمی در نظر گرفته شد و علاوه بر این کاهش انرژی جنبشی توسط پراکندگی کشسان در محاسبات وارد شد. در نهایت پس از حل 240 معادله سینماتیکی جفت شده برای ترازاها و گروههای انرژی اتمهای $d\mu$ و $t\mu$ ، نتایج ارائه شده‌اند.

۲. Muon transfer

۳. Elastic scattering

۴. Stark mixing

۵. Radiative deexcitation

هنگامی که میون وارد محیط می‌شود، در اثر فرآیندهایی مانند پراکندگی غیر کشسان با اتمها، پراکندگی کولمبی و تابشهای ترمی انرژی آن کاهش می‌یابد و زمانی که میون به انرژی در حدود چند کیلو الکترون ولت رسید، می‌تواند توسط اتمهای مجاور تسخیر شود و جایگزین الکترون اتم گردیده و مقداری از انرژی خود را به الکترون اتم بدهد. حال اگر میون توسط هیدروژن یا ایزوتوپهای آن تسخیر شود، از مقایسه انرژی میون مقید شده در حالت نهایی با انرژی الکترون مقیدی که جایگزین آن شده است، به دست می‌آوریم:

$$\frac{n_\mu}{n_e} = \sqrt{\frac{m_\mu}{m_e}}. \quad (1)$$

بنابراین با انتخاب $n_e = 1$ برای حالت زمینه هیدروژن داریم:

$$n_\mu = \sqrt{\frac{m_\mu}{m_e}}.$$

در نتیجه میون در ابتدا در مدار اتمی $n_\mu = 14$ تسخیر می‌شود. مدل گیراندازی بهتری که اثرات مولکولی را هم در نظر می‌گیرد، پیش‌بینی می‌کند که توزیع n اولیه نزدیک $n = 12$ است [۲].

به دلیل اینکه جرم میون 207 مرتبه بزرگتر از جرم الکترون است، میون در فاصله‌ای مابین مدارهای الکترونی در مدت زمان 10^{-14} تا 10^{-15} ثانیه تسخیر می‌شود. شعاع بوهر این اتم نیز متناسب با عکس جرم کاهش یافته اتم است. بنابراین در اثر جایگزینی میون با یک الکترون، این شعاع کاهش می‌یابد.

به دلیل اینکه اتم میوندار تشکیل شده در حالت بسیار برانگیخته است، میون به صورت آبشاری به حالت‌های پایین‌تر انرژی گذار می‌کند تا به حالت زمینه $(1s)$ برسد. در اولین قدم، اتم میوندار با بیرون انداختن الکترون‌های اوژه، والنگیخته می‌شود. الکترون‌های اوژه، خارجی‌ترین الکترون‌های اتمی هستند که در اثر برخورد با اتمهای محیط و گذارهای میونی، انرژی آزاد شده را حمل می‌کنند. برخوردهای کولمبی،

۱. Coulomb deexcitation

جدول ۱. فرآیندهای آبشاری مهم و بستگی آنها به انرژی (x و x' معرف ایزوتوپهای هیدروژن و x_γ معرف مولکول هیدروژن است).

نوع فرآیند	فرآیند	وابستگی به انرژی
گذار تابش زا	$(x\mu)_{n_i} \rightarrow (x\mu)_{n_f} + \gamma$	ندارد
اوژه	$(x\mu)_{n_i} + x'_\gamma \rightarrow (x\mu)_{n_f} + e + x'^+$	ضعیف
استارک	$(x\mu)_n^l + x \rightarrow (x\mu)_n^{l'} + x$	متوسط
پراکنده‌گی کشسان	$(x\mu)_n + x \rightarrow (x\mu)_n + x$	قوی
والنگیختگی کولمبی	$(x\mu)_{n_i} + x' \rightarrow (x\mu)_{n_f} + x'$	قوی
انتقال	$(x\mu)_{n_i} + x' \rightarrow (x'\mu)_{n_f} + x$	قوی

که $\lambda_{nn}^{\text{muon}}$ آهنگ والنگیختگی تابشی اتم میوندار است. \bar{M}

جرم کاهش یافته اتم میونی و $R_n^{n'}$ از همان توابع موج اتم هیدروژن به دست می‌آید. $\Delta E_{n,n'}$ اختلاف انرژی بین حالت‌های اولیه و نهایی اتم میونی با عدد اتمی z است و به صورت زیر تعریف می‌شود [۶]

$$\Delta E_{n,n'} = -\frac{1}{2} \overline{m}_{x\mu} z^2 \left(\frac{1}{n^2} - \frac{1}{n'^2} \right). \quad (4)$$

بر اساس روابط (۳) تا (۴) برنامه کامپیوتی تهیه شده است که مقادیر عددی آهنگ گذار تابشی را از هر تراز n به تراز n' محاسبه می‌کند. این مقادیر در معادلات سینماتیکی فرآیندهای آبشاری استفاده شد. مشاهده شد که آهنگ گذار تابشی با افزایش n شدیداً افت می‌کند.

۲. فرآیند اوژه خارجی

اگر در برخورد اتمهای میوندار به اتمها یا مولکولهای محیط، اختلاف انرژی بین دو تراز اتم میونی به الکترون اتم (یا مولکول) مجاور منتقل شود، باعث جدا شدن الکترون می‌شود که این فرآیند را اوژه خارجی گویند. در این حالت به دلیل سبک بودن الکترون، انرژی آزاد شده حاصل از والنگیختگی، توسط الکترون حمل می‌شود، لذا انرژی جنبشی اتم میوندار تغییر چندانی نمی‌کند [۱۰].

۲. بررسی گذارهای اتمهای میوندار

بعد از اینکه میون در تراز برانگیخته اتمی قرار گرفت، با انجام گذارهای آبشاری، به حالت پایه والنگیخته می‌شود. تاکنون مطالعات فراوانی در زمینه فرآیندهای والنگیختگی اتمهای اگزوتیک از جمله اتمهای میوندار صورت گرفته است [۶]. فرآیندهای گذار آبشاری، شامل فرآیندهای برخوردی مختلف و گسیل تابش می‌باشند. مهمترین این فرآیندها و خصوصیات اصلی آنها در جدول ۱ آمده است [۷].

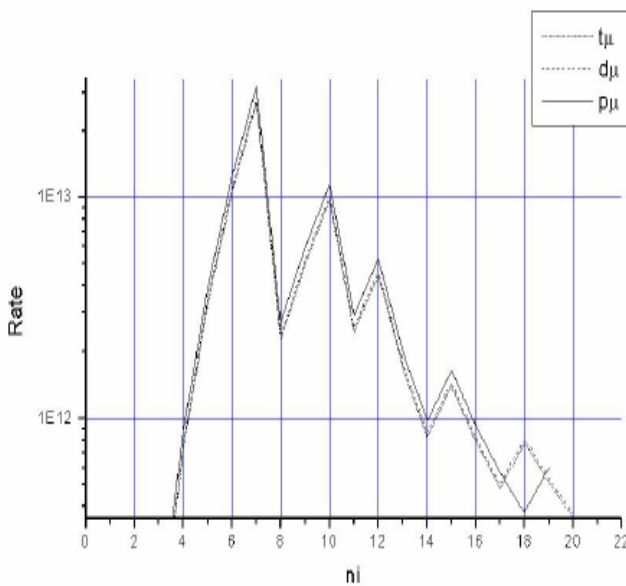
۱. گذار تابشی

با یک بررسی الکترودینامیک کوانتونی در مورد گذار خود به خودی یک اتم الکترونی از حالت n به حالت n' با گسیل یک فوتون، می‌توان رابطه زیر را برای احتمال گذار در واحد زمان به دست آورد [۸]

$$\lambda_{nn'} = \frac{4}{3} \alpha^3 (\Delta E_{nn'})^3 |R_n^{n'}|^2, \quad (2)$$

که در آن α ثابت ساختار ریز است. $R_n^{n'}$ المان ماتریسی گذار دوقطبی بین حالت‌های n و n' است و $\Delta E_{n,n'}$ اختلاف انرژی بین حالت‌های اولیه و نهایی است. حال اگر به جای الکترون میون داشته باشیم به طور مشابه به فرمول زیر می‌رسیم [۷]

$$\lambda_{nn}^{\text{muon}} = \frac{4}{3} (\Delta E_{n,n'})^3 (R_n^{n'})^2 \bar{M}^{-2} \times 1/6 \times 10^{10} (\text{sec}^{-1}), \quad (3)$$



شکل ۱. آهنگ والنگیختگی اوژه برای اتمهای $p\mu$ و $d\mu$ و $t\mu$ [۱۳].

می تواند در عمق ابر الکترونی اتمها و مولکولها نفوذ کند. والنگیختگی کولمبوی یک مکانیزم شتاب دهنده مهم است که اتمهای میونی داغ $>> 10^6 \text{ eV}$ تولید می کند. این فرآیند طبق برهمنش زیر صورت می گیرد [۱۱]

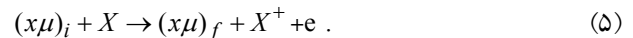
$$(a\mu)_n + b \xrightarrow{\lambda_{nn}} (a\mu)_{n'} + b(n\langle n') (a,b) = (p,d,t) . \quad (8)$$

نکته دیگری که در فرآیند کولمبوی مهم است، نوع اتم محیط است. لذا با دو نوع واکنش کولمبوی روبه رو هستیم. واکنشهای متقارن (برخورد اتم میوندار با ایزوتوب هم جنس خود) و واکنشهای غیر متقارن (برخورد اتم میوندار با ایزوتوب غیر هم جنس خود). این برهمنش ها در محیط $d-t$ عبارتند از:

$$\left. \begin{array}{l} (d\mu)_n + t \rightarrow (d\mu)_{n-1} + t \\ (t\mu)_n + d \rightarrow (t\mu)_{n-1} + d \end{array} \right\} \text{نامتقارن} ,$$

$$\left. \begin{array}{l} (d\mu)_n + d \rightarrow (d\mu)_{n-1} + d \\ (t\mu)_n + t \rightarrow (t\mu)_{n-1} + t \end{array} \right\} \text{متقارن} .$$

محاسبات مختلف برای سطوح مقطع این فرآیندها، با نتایج آزمایشگاهی بیش از یک درجه بزرگی متفاوت می باشند [۱۴]. فرآیند والنگیختگی کولمبوی، حداقل برای ترازهای برانگیخته بالا ($n > 10$ ، آنجایی که آهنگها قابل مقایسه با آهنگ والنگیختگی اوژه می باشد، مهم است [۱۴]). همچنین گذار با $\Delta n = 1$ اهمیت بیشتری برخوردار است. در تراز $10 \approx n$ ، فرآیندهای



$$(X=H,D,T) , (x=p,d,t)$$

با استفاده از تقریب مرتبه اول بورن، احتمال گذار به صورت

زیر به دست می آید [۱۱]

$$\lambda_{if} = Nv_i \sigma_{if} =$$

$$2/3 \times 10^{15} (\text{sec}^{-1}) (R^{n'l'}_{nl})^2 M^{-1} (2\Delta E + 1/29)^{-1/2} , \quad (6)$$

که در آن

$$R_{nl} = \left(\frac{z}{a_*}\right)^2 e^{zr/na_*} f_{nl}\left(\frac{zr}{a_*}\right) , \quad a_* = \frac{1}{M} , \quad (7)$$

و $\delta_H = \Delta E_{x\mu} - \delta_H$ است. δ_H انرژی یونیزاسیون اتم هیدروژن و $\Delta E_{x\mu}$ انرژی برانگیختگی اتم میونی $x\mu$ است.

اگر فقط حالتها اولیه و نهایی از لحاظ عدد کوانتومی اصلی n مهم باشد، به جای $R_{nl}^{n'l'}$ می توان از R_n^n که متوسط $R_{nl}^{n'l'}$ بر روی حالتای l و l' است، استفاده کرد. در این قسمت نیز مقادیر $R_{nl}^{n'l'}$ با یک برنامه کامپیوتری به صورت عددی محاسبه و در نهایت مقادیر عددی آهنگ گذار اوژه از هر تراز اولیه به هر تراز نهایی محاسبه شد تا در معادلات سینماتیکی قرار گیرند.

نتایج محاسبات در شکل ۱ نشان داده شده است. مشاهده می گردد که گذار اوژه برای ایزوتوپهای مختلف هیدروژن تفاوت کمی دارد. همچنین برای گذارهای با $n=7$ ، والنگیختگی برای $\Delta n = 1$ ممنوع می شود، زیرا اختلاف $\Delta E_{X\mu}$ و δ_H که به صورت ΔE نمایش داده می شود، منفی خواهد شد.

همچنین گذارهای با $\Delta n = 2$ در $n=10$ ممنوع می شود [۱۲]. هر چه به ترازهای بالاتر می رسیم، ممنوعیت برای گذارهای بیشتری اعمال می شود، یعنی به طور کلی در ترازهای بالا با توجه به پایستگی انرژی، گذارهای با تغییر کم در عدد کوانتومی اصلی اتم میوندار، نمی توانند اتفاق بیفتند و در نتیجه در ترازهای بالا آهنگ والنگیختگی اوژه کاهش می یابد.

۲.۳. برخورد کولمبوی

اتم میوندار به علت کوچک بودن و نداشتن بار الکتریکی،

$(t\mu)_n + d \rightarrow (d\mu)_n + t$ ،
باید بزرگتر از $eV = 33/33$ باشد. نتایج مرجع [۵] نشان می‌دهد که آهنگ انتقال شبه رزنانسی با آهنگ شبه رزنانسی معکوس تقریباً برابر است.

انتقال معکوس میون از ایزوتوب سنگیتر به ایزوتوب سبکتر به همراه کاهش n به اندازه یک واحد نیز اتفاق می‌افتد که به آن انتقال معکوس غیر رزنانسی^۳ گویند.

$$(t\mu)_n + d \rightarrow (d\mu)_{n-1} + t ,$$

$$(d\mu)_n + p \rightarrow (p\mu)_{n-1} + d ,$$

$$(t\mu)_n + p \rightarrow (p\mu)_{n-1} + t .$$

انرژی آزاد شده درهمه واکنشهای بالا را می‌توان به طور تقریبی با استفاده از رابطه زیر به دست آورد [۱۱]

$$\Delta u = \frac{n - 1/2}{n^2(n - 1)^2} .$$

آهنگ انجام واکنشهای بالا نیز بر اساس محاسبات مرجع [۵] در این مقاله استفاده شده است.

۲.۵. برخورد کشسان

در طی فرایندهای مختلف آبشاری که باعث گذار میون از حالت برانگیخته اتم میونی به حالت پایه می‌شود، برخورد کشسان باعث کند شدن اتم میونی و از دست دادن انرژی جنبشی آن می‌شود، اما تراز اتم میوندار عوض نمی‌شود

$$(x\mu)_n + H \rightarrow (x\mu)_n + H \quad (x=p,d,t) .$$

با این وجود این اتمها در پایان فرایند آبشاری یعنی هنگام رسیدن به حالت پایه هنوز به انرژی حرارتی محیط نمی‌رسند. آهنگ فرایند کشسان به صورت زیر در مرجع [۷] محاسبه شده است:

$$\lambda_n^{dec}(E) = N \cdot v \frac{\gamma M_{x\mu} M_H}{(M_{x\mu} + M_H)} \sigma_n^{tr}(E) , \quad (12)$$

که در آن

$$\sigma_n^{tr}(E) = \frac{\pi^*(n^* - 1)}{4m_{x\mu} E} . \quad (13)$$

در رابطه (۱۲)، N چگالی هیدروژن مایع و v سرعت نسبی اتم میوندار و E انرژی نسبی اتم میوندار می‌باشد که می‌توان با

کولمبی و اوژه با هم قابل مقایسه می‌شوند؛ ولی این روند تا مرحله نهایی فرایندهای آبشاری $n < 5$ که در آن فرایند تابشی اهمیت دارد ادامه نمی‌یابد. در این مقاله در محاسبات از آهنگهای والنگیختگی کولمبی ارائه شده در مرجع [۵] برای ترازهای مختلف و در انرژیهای مختلف استفاده شده است.

۲.۴. انتقال میون

از آنجا که هسته اتم تریتیوم از دوتربیوم سنگیتر است، ترازهای انرژی میون در تریتیوم دارای انرژی منفی تر نسبت به معادلهای آن در دوتربیوم هستند. این امر باعث می‌شود که در برخوردهایی که بین اتمهای دوتربیوم میوندار و اتمهای تریتیوم معمولی رخ می‌دهد، میون از دوتربیوم به تریتیوم منتقل شود. واکنشی که میون از اتم سبکتر به اتم سنگیتر منتقل می‌شود را انتقال شبه رزنانس^۱ گویند [۱۵].

مانند واکنشهای زیر:

$$(d\mu)_n + t \rightarrow (t\mu)_n + d + \Delta u_1 , \quad (9)$$

$$(p\mu)_n + d \rightarrow (d\mu)_n + p + \Delta u_2 , \quad (10)$$

$$(p\mu)_n + t \rightarrow (t\mu)_n + p + \Delta u_3 . \quad (11)$$

در طی انجام این واکنش، انرژی آزاد می‌شود. انرژی آزاد شده برابر است با:

$$\Delta u = E_2 - E_1 .$$

می‌دانیم در اتمهای هیدروژن گونه، $E = -1/2mc^2 \frac{z^2 \alpha^3}{n^2}$ که در آن

جرم کاهیده اتم هیدروژن گونه می‌باشد. به عبارتی داریم:

$$\Delta u = (\mu_2 - \mu_1)/2n^2 ,$$

که در آن $\mu_{1,2} = m_{1,2} c^2 z^2 \alpha^3$ می‌باشد.

اگر در فرایند انتقال، میون از اتم سنگیتر بتواند جایگزین اتم سبکتر شود، انتقال شبه رزنانس معکوس^۲ خواهیم داشت. شرط اینکه واکنش معکوس اتفاق بیفتاد، الزاماً داشتن انرژی جنبشی بیشتر از Δu است؛ یعنی $E > \Delta u$ باشد. به طور مثال انرژی مجاز برای تراز $n=12$ در فرایند زیر

۱. Quasi resonant

۲. Inverse quasi resonant transfer.

آشکار است [۱۷]. بنابراین در چگالیهای پایین، فرآیند تابش نسبت به فرآیندهای برخوردي اهمیت بیشتری دارد. به این ترتیب همه آهنگهای برخوردي باید در چگالی محیط^۵ ضرب شوند.

فرآیند تعویض ایزوتوب به غلظت نسبی محیط بستگی دارد، زیرا این فرآیند در اثر برخورد دو ایزوتوب غیر همجنسب هیدروژن در محیط رخ می‌دهد. بنابراین آهنگ تعویض ایزوتوب اتم میوندار در یک محیط (مثلًاً اتم μ) باید در غلظت ایزوتوب دیگر در آن محیط (t) ضرب شود. به همین دلیل در غلظتهاهای پایین هر یک از ایزوتوبهای هیدروژن، اهمیت فرآیند تعویض ایزوتوب کاهش می‌یابد.

در والنگیختگی کولمبی و پراکندگی کشسان نیز چون برخوردها را به صورت متقارن و نامتقارن بررسی می‌کنیم باید آهنگ هر فرآیند در غلظت ایزوتوبی محیط هدف ضرب شوند.

۴. گروه‌بندی انرژی

همان‌طور که در قسمت قبل گفته شد، اتم میوندار برانگیخته، یا توسط فرآیندهای برخوردي گذار انجام می‌دهد و یا اینکه توسط فرآیند تابشی والنگیخته می‌شود. از جمله فرآیندهای مهم برخوردي که در انرژی جنبشی اتم میوندار مؤثر هستند، برخوردهای کولمبی، انتقال میون و پراکندگی کشسان هستند. از طرفی آهنگ این فرآیندها خود تابعی از انرژی است. برای بررسی دینامیک گذارهای آبشاری و استخراج طیف انرژی جنبشی اتمهای میوندار در ترازهای مختلف، از روش چند گروهی انرژی استفاده کردہ‌ایم. این در حالی است که در بررسیهای دیگران مربوط به والنگیختگی اتمهای میوندار [۱۸ و ۱۹]، فقط تغییرات جمعیت ترازها نسبت به زمان در نظر گرفته شده و اتم میوندار به صورت تک انرژی فرض شده است. در این مقاله انرژی جنبشی اتم میوندار در هر تراز، به گروههای انرژی تقسیم شده است و تغییرات جمعیت هر تراز در هر گروه انرژی بررسی شده و در نهایت طیف انرژی اتم

جایگزین کردن و ساده کردن فرمولها، به رابطه کلی زیر رسید:

$$\lambda = \frac{(n^{\gamma} - 1) A_{x\mu}}{\sqrt{E}}, \quad (14)$$

که در آن

$$A_{x\mu} = \sqrt{2} N \cdot \pi^{\frac{1}{2}} \frac{M_{x\mu} M_H}{(M_{x\mu} + M_H)^{\frac{1}{2}} m_{x\mu}^{\frac{1}{2}}}.$$

برخوردهای کشسان نیز شامل برخوردهای متقارن و نا متقارن است:

$$\left. \begin{array}{l} (d\mu)_n + d \rightarrow (d\mu)_n + d \\ (t\mu)_n + t \rightarrow (t\mu)_n + t \end{array} \right\} \text{متقارن},$$

$$\left. \begin{array}{l} (d\mu)_n + t \rightarrow (d\mu)_n + t \\ (t\mu)_n + d \rightarrow (t\mu)_n + d \end{array} \right\} \text{نامتقارن}.$$

آهنگ این فرآیندها بر اساس رابطه (۱۴) به طور عددی در ترازهای مختلف n و در انرژیهای برخوردي مختلف محاسبه و در حل معادلات سینماتیکی استفاده شده است.

۳. بستگی فرآیندهای آبشاری به چگالی و انرژی

همان‌طور که قبلاً گفته شد، فرآیندهای آبشاری اتمهای میوندار شامل دو دسته فرآیندهای برخوردي (اوژه، مخلوط شدگی استارک، والنگیختگی کولمبی، انتقال میون و پراکندگی کشسان) و غیر برخوردي (تابش) می‌شوند. فرآیند تابش به شرایط فیزیکی محیط بستگی ندارد، بنابراین تنها فرآیند آبشاری غیر وابسته به چگالی و انرژی است. در رابطه‌ای که برای سطح مقطع گذار تابشی ارائه شد (رابطه ۳)، مشخص است که آهنگ تابش به انرژی اتم میوندار بستگی ندارد. بستگی فرآیندهای آبشاری اتمهای میوندار به انرژی در جدول ۱ آورده شده است.

آهنگ والنگیختگی اوژه که در تقریب اول بورن [۱۶] محاسبه شده است نیز به انرژی بستگی ندارد؛ زیرا همان‌طور که دیده شد، سطح مقطع محاسبه شده در این تقریب، به طور معکوس مناسب با سرعت اتم میوندار است و در محاسبه آهنگ واکنش، این بستگی از بین می‌رود (رابطه ۶).

آهنگ تمامی فرآیندهای برخوردي به طور خطی با چگالی محیط مناسب هستند. این امر از روابط این واکنشها به خوبی

جنبشی آن بعد از برخورد تغییر می‌کند.

برای محاسبه انرژی اتم میوندار بعد از برخورد با اتمها و مولکولهای محیط از روش ساچ و تلر [۱۹] استفاده شده است. اگر برخورد از نوع کشسان باشد، اندازه سرعت نسبی قبل از برخورد و بعد از برخورد یکسان خواهد بود؛ یعنی:

$$|\vec{v}'_{rel}| = |\vec{v}_{rel}|$$

در غیر این صورت سرعت نسبی بعد از برخورد

$$|\vec{v}'_{rel}| \neq |\vec{v}_{rel}|$$

تغییر خواهد کرد.

اگر Δu ، انرژی آزاد شده یا انرژی دریافت شده در طی فرآیندهای غیرکشسان باشد (اگر انرژی آزاد شود Δu مثبت و اگر انرژی دریافت شود، Δu منفی خواهد بود)، داریم:

$$|\vec{v}'_{rel}| = |v_{rel}| \sqrt{1 + \frac{\Delta u}{E}} \Rightarrow |\vec{v}'_{rel}| = \sqrt{v^2_{rel} + \frac{2\Delta u}{m}} \quad (15)$$

که در آن m ، جرم کاهیده اتم میوندار و E انرژی جنبشی نسبی اتم میوندار و مولکول مورد برخورد است.

حال می‌توان گروه انرژی را پس از برخورد تعیین کرد. برای این کار برای هر یک از برخوردهای کولمبی، انتقال و پراکندگی برنامه کامپیوتری جداگانه‌ای با لحاظ کردن این نکته که انرژی والنگیختگی بین دو ذره برخورده تقطیم می‌شود، نوشته شده است. در هر یک از این برنامه‌ها، در ابتدا جنس برخورد (متقارن- نامتقارن) و اینکه تراز اتم میوندار تغییر می‌کند یا خیر، مشخص می‌شود؛ سپس با در نظر گرفتن اتمها و مولکولهای محیط در دمای اتاق ($T=300$ K)، برای هر تراز و گروه انرژی، تراز و گروه انرژی پس از برخورد تعیین شده است.

۵. معادلات سینماتیک مربوط به فرآیندهای آبشاری اتمهای میوندار در گروههای مختلف انرژی

برای نوشتن معادلات سینماتیک گذارهای آبشاری اتمهای میوندار، انرژی جنبشی اتمهای میوندار را در هر حالت n به ۱۰ گروه انرژی تقسیم کردایم (به جدول ۲ مراجعه شود). سپس با در نظر گرفتن گذارهای ممکن از هر تراز به گروههای انرژی ترازهای دیگر، معادلات دیفرانسیل مربوط به جمعیت آنها را می‌نویسیم. در نوشتن معادلات، بستگی فرآیندهای برخوردی به

جدول ۲. تقسیم بندی گروههای انرژی.

گروه انرژی	بازة انرژی
۱	$0 \leq E < 0,1$ (eV)
۲	$0,1 \leq E < 0,2$ (eV)
۳	$0,2 \leq E < 0,3$ (eV)
۴	$0,3 \leq E < 0,4$ (eV)
۵	$0,4 \leq E < 0,5$ (eV)
۶	$0,5 \leq E < 1$ (eV)
۷	$1 \leq E < 2$ (eV)
۸	$2 \leq E < 3$ (eV)
۹	$3 \leq E < 4$ (eV)
۱۰	$E > 4$ (eV)

میوندار در حالت پایه به دست آمده است. تقسیم‌بندی گروههای انرژی در جدول ۲ آمده است.

در مرحله بعد باید با توجه به نوع برخورد اتم میوندار با اتمهای محیط (برخوردهای کولمبی، انتقال میون و پراکندگی کشسان)، انرژی اتم میوندار بعد از برخورد را تعیین و گروه انرژی بعد از برخورد را مشخص کنیم. به عبارت دیگر باید مشخص شود که به ازای هر برخورد کولمبی، انتقال و پراکندگی که در یک گروه انرژی انجام می‌شود و باعث افزایش یا کاهش انرژی جنبشی اتم میوندار می‌گردد، بعد از برخورد، اتم میوندار به چه گروه انرژی منتقل می‌شود. در این حالت در معادلات باید تعیین کنیم که چگونه از جمعیت یک گروه انرژی کاسته و به گروه دیگر انرژی افزوده می‌شود.

۴. تعیین انرژی جنبشی اتمهای میوندار بعد از برخورد وقتی اتم میوندار به حالتهای پایین‌تر توسط فرآیندهای برخوردهای والنگیخته شد یا پراکندگی کشسان انجام داد، انرژی

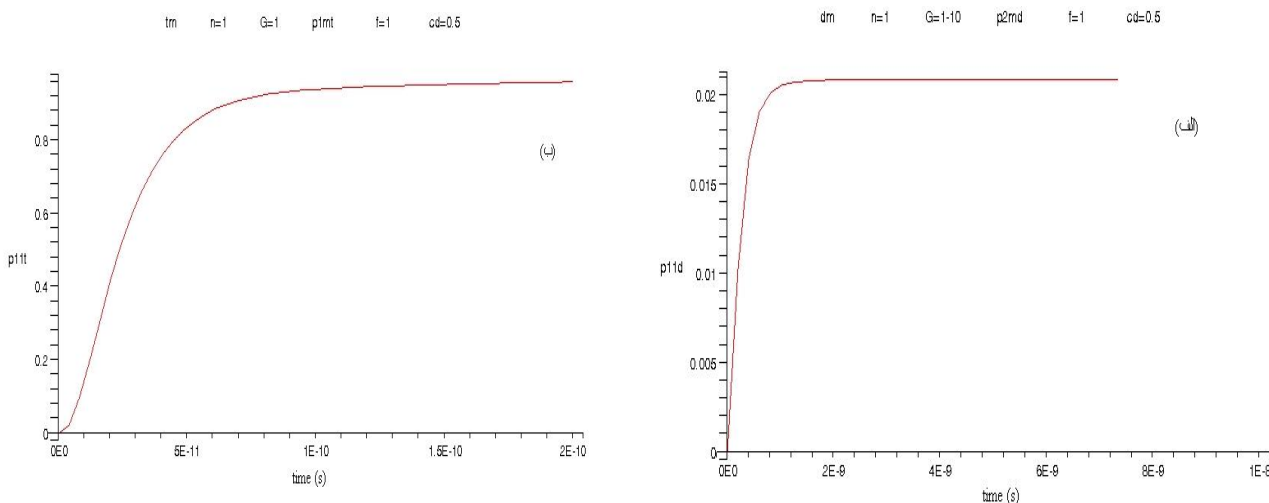
$$\begin{aligned}
& + \sum_{i(i>n)} \phi \lambda_{au}^{\{i \rightarrow n\}} P_{(i,m)_{d\mu}} - \sum_{i(i<n)} \phi \lambda_{au}^{\{n \rightarrow i\}} P_{(n,m)_{d\mu}} \\
& + \sum_l \phi(c_d) \lambda_{coul}^{\{n+1 \rightarrow n\}} P_{(n+1,l')_{d\mu}} - \sum_l \phi(c_d) \lambda_{coul}^{\{n \rightarrow n-1\}} P_{(n,m)_{d\mu}} \\
& + \sum_l \phi(c_t) \lambda_{coul}^{\{n+1 \rightarrow n\}} P_{(n+1,l)_{d\mu}} - \sum_l \phi(c_t) \lambda_{coul}^{\{n \rightarrow n-1\}} P_{(n,m)_{d\mu}} \\
& + \sum_l \phi(c_d) \lambda_{tr}^{\{l \rightarrow m\}} P_{(n,l)_{d\mu}} - \sum_l \phi(c_t) \lambda_{tr}^{\{m \rightarrow l\}} P_{(n,m)_{d\mu}} \\
& + \sum_l \phi(c_d) \lambda_{tr}^{\{n+1 \rightarrow n\}} P_{(n,l)_{d\mu}} - \sum_l \phi(c_t) \lambda_{tr}^{\{m \rightarrow l\}} P_{(n,m)_{d\mu}} \\
& + \sum_l \phi(c_d) \lambda_{dec}^{\{l \rightarrow m\}} P_{(n,l)_{d\mu}} - \sum_{l(l>m)} \phi(c_d) \lambda_{dec}^{\{n \rightarrow n\}} P_{(n,m)_{d\mu}} \\
& + \sum_{l(l>m)} \phi(c_t) \lambda_{dec}^{\{l \rightarrow m\}} P_{(n,l)_{d\mu}} - \sum_{l(l<m)} \phi(c_t) \lambda_{dec}^{\{m \rightarrow l\}} P_{(n,m)_{d\mu}}
\end{aligned} \tag{۱۶}$$

$$\begin{aligned}
\frac{dP_{(n,m)_{d\mu}}}{dt} = & \sum_{i(i>n)} \lambda_{ra}^{\{i \rightarrow n\}} P_{(i,m)_{d\mu}} - \sum_{i(i<n)} \lambda_{ra}^{\{n \rightarrow i\}} P_{(n,m)_{d\mu}} \\
& + \sum_{i(i>n)} \phi \lambda_{au}^{\{i \rightarrow n\}} P_{(i,m)_{d\mu}} - \sum_{i(i<n)} \phi \lambda_{au}^{\{n \rightarrow i\}} P_{(n,m)_{d\mu}} \\
& + \sum_l \phi(c_d) \lambda_{coul}^{\{n+1 \rightarrow n\}} P_{(n+1,l')_{d\mu}} - \sum_l \phi(c_d) \lambda_{coul}^{\{n \rightarrow n-1\}} P_{(n,m)_{d\mu}} \\
& + \sum_l \phi(c_t) \lambda_{coul}^{\{n+1 \rightarrow n\}} P_{(n+1,l)_{d\mu}} - \sum_l \phi(c_t) \lambda_{coul}^{\{n \rightarrow n-1\}} P_{(n,m)_{d\mu}} \\
& + \sum_l \phi(c_t) \lambda_{tr}^{\{l \rightarrow m\}} P_{(n,l)_{d\mu}} - \sum_l \phi(c_d) \lambda_{tr}^{\{m \rightarrow l\}} P_{(n,m)_{d\mu}} \\
& + \sum_l \phi(c_t) \lambda_{tr}^{\{n+1 \rightarrow n\}} P_{(n,l)_{d\mu}} - \sum_l \phi(c_d) \lambda_{tr}^{\{m \rightarrow l\}} P_{(n,m)_{d\mu}} \\
& + \sum_{l(l>m)} \phi(c_d) \lambda_{dec}^{\{l \rightarrow m\}} P_{(n,l)_{d\mu}} - \sum_{l(l<m)} \phi(c_d) \lambda_{dec}^{\{n \rightarrow n\}} P_{(n,m)_{d\mu}} \\
& + \sum_{l(l>m)} \phi(c_t) \lambda_{dec}^{\{l \rightarrow m\}} P_{(n,l)_{d\mu}} - \sum_{l(l<m)} \phi(c_t) \lambda_{dec}^{\{m \rightarrow l\}} P_{(n,m)_{d\mu}}
\end{aligned} \tag{۱۷}$$

چگالی و غلظت محیط، را در نظر می‌گیریم. نوشتند معادلات برای هر تراز و هر گروه انرژی به این صورت است که فرآیندهایی که باعث افزایش جمعیت آن تراز و گروه انرژی می‌شوند را با علامت مثبت و فرآیندهایی که باعث کاهش جمعیت آن تراز و گروه انرژی می‌شوند را با علامت منفی وارد معادلات می‌کنیم. در معادلات (۱۶ و ۱۷) شکل کلی آنها در محیط D/T برای جمعیت اتمهای $d\mu$ و $t\mu$ آورده شده است که در آن P معرف جمعیت تراز، n شماره تراز اتم و m شماره گروه انرژی جنبشی اتم است و λ_{au} ، λ_{ra} ، λ_{coul} ، λ_{tr} ، λ_{dec} ، $\lambda_{t\mu}$ ، به ترتیب عبارتند از؛ آهنگ گذار اوژ، گذار تابش‌زا، والنگیختگی کولمبی، آهنگ تعویض ایزوتوپ و آهنگ پراکندگی کشسان. همچنین φ چگالی محیط نسبت به چگالی هیدروژن مایع است ($\varphi = \frac{N}{N_0}$) که در آن $N_0 = 4 \times 10^{25}$). باید توجه داشت که تغییر جمعیت از یک تراز به تراز دیگر (تغییر n) توسط فرآیندهای گذار اتمی اتفاق می‌افتد که بعضی از آنها مانند کولمب و انتقال باعث تغییر در گروه انرژی (m) نیز خواهند شد. همچنین تغییر در گروه انرژی علاوه بر اینکه در طی بعضی از گذارهای اتمی اتفاق می‌افتد، می‌تواند توسط پراکندگی کشسان نیز رخ دهد که در آن صورت بدون تغییر در n فقط باعث تغییر در m می‌شود.

نکته حائز اهمیت این است که هر جمله متناظر با فرآیندی که از تراز n و گروه انرژی m کم می‌شود، باید در تراز و گروه انرژی دیگری، با علامت مثبت ظاهر شود. مثلاً در تعویض ایزوتوپ، جمله‌هایی که با ضریب c_i برای تغییرات جمعیت مربوط به اتم $d\mu$ با علامت منفی ظاهر می‌شود، در معادلات تغییرات جمعیت مربوط به اتم $t\mu$ با علامت مثبت آورده می‌شود (توجه شود که فقط در فرآیند تعویض ایزوتوپ است که نوع اتم میوندار عوض می‌شود).

$$\frac{dP_{(n,m)_{d\mu}}}{dt} = \sum_{i(i>n)} \lambda_{ra}^{\{i \rightarrow n\}} P_{(i,m)_{d\mu}} - \sum_{i(i<n)} \lambda_{ra}^{\{n \rightarrow i\}} P_{(n,m)_{d\mu}}$$



شکل ۲. نمودارهای مربوط به تغییر جمعیت تراز $n=1$ در گروه انرژی $m=1$. (الف) برای اتم $d\mu$ و (ب) اتم $t\mu$.

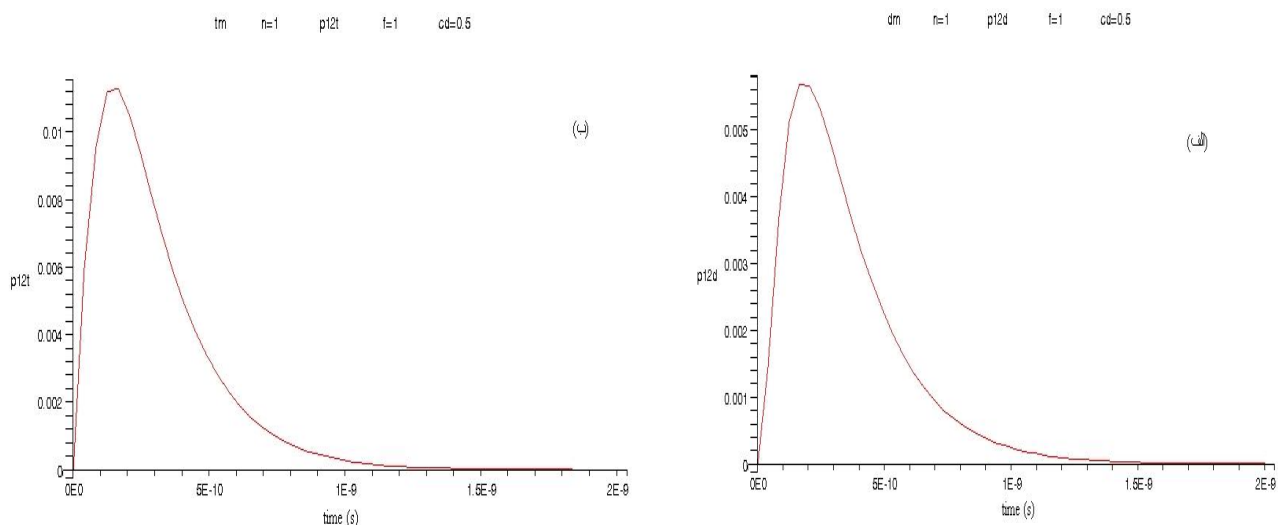
دیفرانسیل جفت شده خطی مربوط به سینماتیک فرآیندهای آبشار میونی آورده شده است. در ابتدا نمودارهای مربوط به تغییر جمعیت تراز $n=1$ و به ازای گروههای انرژی $m=1$ مشاهده $m=2$ نسبت به زمان رسم شده‌اند. در شکل‌های ۲ و ۳ از صفر شروع می‌شود که جمعیت تراز $n=1$ و گروه $m=2$ رفته است. تغییرات گروه انرژی $m > 2$ نیز به همین شده و به یک مقدار ماکریم رسیده و در نهایت جمعیت گروه $m=2$ خالی شده و اتم میوندار به حالت پایه در گروه انرژی $m=1$ رفته است. مقایسه شده است. نمودارهای مربوط به تغییر جمعیت کل تراز $n=1$ و $n=2$ مربوط به مجموع جمعیت همه گروههای انرژی نسبت به زمان در شکل‌های ۴، ۵ و ۶ نشان داده شده است و با نتایج مربوط به شبیه سازی به روش مونت کارلو [۲۰] مقایسه شده است. مشاهده می‌شود که جمعیت تراز $n=1$ مدت زمانی که جمعیت تراز $n=2$ برای اتمهای $d\mu$ و $t\mu$ به یک مقدار تقریباً ثابتی می‌رسد در دو روش از تطابق خوبی برخوردار است. در شکل ۶ مشاهده می‌شود که جمعیت تراز $n=12$ با توجه به شرایط اولیه در لحظه $t=0$ پر بوده و شروع به خالی شدن می‌کند و در مدت زمان کوتاهی خالی می‌شود (10^{-12} s). برخلاف این تراز، دیگر ترازها از حالت جمعیت صفر در لحظه $t=0$ ، بعد از شروع والنگیختگی اتم، شروع به پرشدن می‌کنند و در همه ترازها به غیر از تراز

این معادلات دیفرانسیل از نوع خطی است؛ زیرا در هر جمله این معادله‌ها، فقط متغیر مربوط به جمعیت هر تراز و هر گروه انرژی به صورت خطی وجود دارد. چون $n \leq 12$ در نظر گرفته شده است و به ازای هر n گروه انرژی جنبشی داریم پس جمعاً 120 معادله برای جمعیت اتمهای $d\mu$ و همین تعداد برای اتمهای $t\mu$ در ترازها و گروههای انرژی مختلف خواهیم داشت. جمع همه معادلات باید صفر شود. جمع کردن این 240 معادله دیفرانسیل جفت شده خطی قبل از حل آنها، روش خوبی برای امتحان درست نوشتن معادلات است.

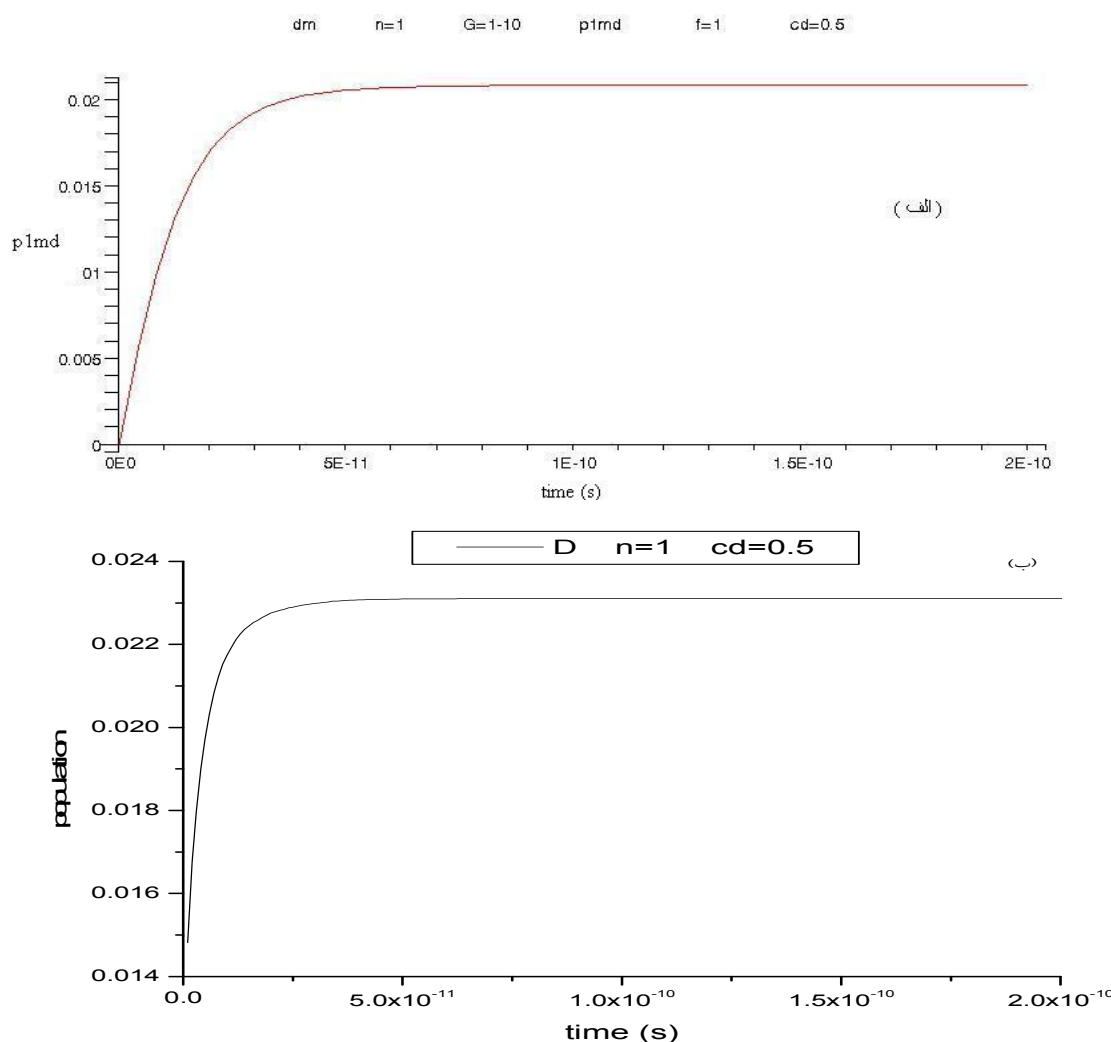
برای حل این دستگاه معادلات دیفرانسیل جفت شده خطی از روش رونگ-کوتا، مرتبه چهارم، استفاده می‌کنیم که به عنوان روش پیش فرض حل دستگاه معادلات دیفرانسیل جفت شده خطی در نرم‌افزار Maple9 به کار رفته است. در نهایت با استفاده از این نرم‌افزار، این دستگاه معادلات دیفرانسیل را با شرایط اولیه‌ای که در آن جمعیت تمام ترازهای n و تمام گروههای انرژی m صفر هستند و فقط جمعیت اتمهای $d\mu$ و $t\mu$ در تراز $n=12$ و $m=1$ به نسبت غلظت ایزوتوبی قرار دارد ($c_{d\mu} = c_d$ و $c_{t\mu} = c_t$)، حل کردہ‌ایم.

۶. نتایج

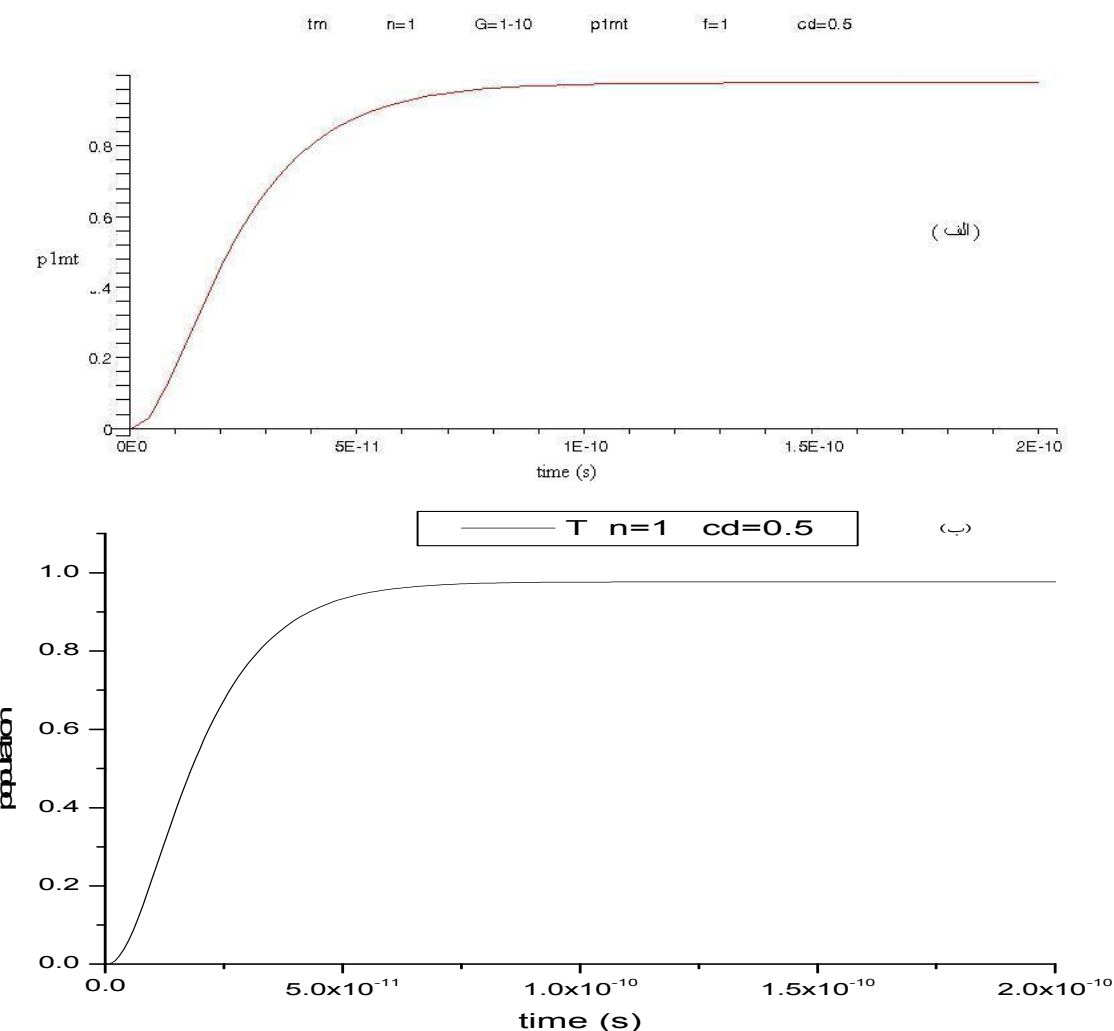
در این قسمت نتایج به دست آمده از حل دستگاه معادلات



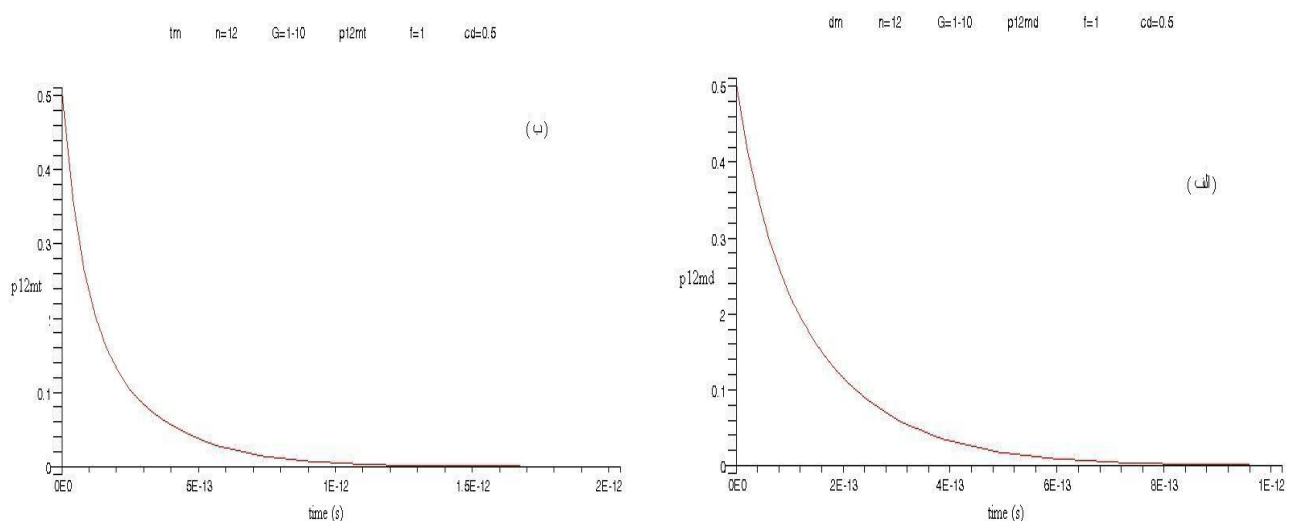
شکل ۳. نمودارهای مربوط به تغییر جمعیت تراز ۱ در گروه انرژی ۲ = m. (الف) برای اتم $d\mu$ و (ب) اتم $t\mu$.



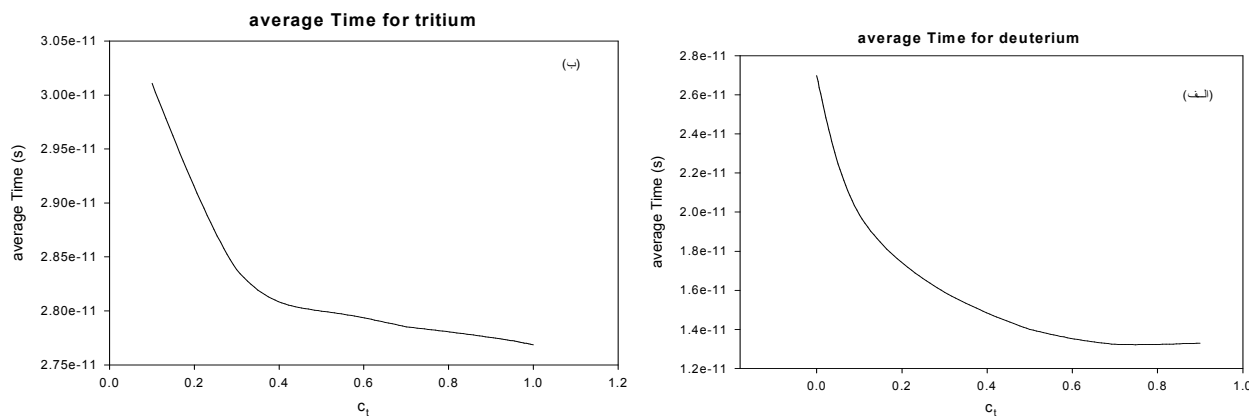
شکل ۴. تغییرات مجموع جمعیت تراز ۱ در تمام گروههای انرژی نسبت به زمان برای اتم $d\mu$. (الف) با استفاده از روش حل معادلات سینماتیکی. (ب) شبیه سازی مونت کارلو.



شکل ۵. تغییرات مجموع جمعیت تراز $n=1$ در تمام گروههای انرژی نسبت به زمان برای اتم t_m . (الف) با استفاده از روش حل معادلات سینماتیکی. (ب) شبیه سازی مونت کارلو.



شکل ۶. تغییرات مجموع جمعیت تراز $n=12$ در تمام گروههای انرژی نسبت به زمان. (الف) برای اتم t_m . (ب) برای اتم $d\mu$.

شکل ۷. زمان متوسط گذار با استفاده از حل سینماتیک (الف) برای اتم $d\mu$ و (ب) برای اتم $t\mu$.

جدول ۳. مقایسه زمان والنگیختگی گذارهای آبشار میونی برای محیطهای خالص D و T به دو روش سینماتیک و مونت کارلو.

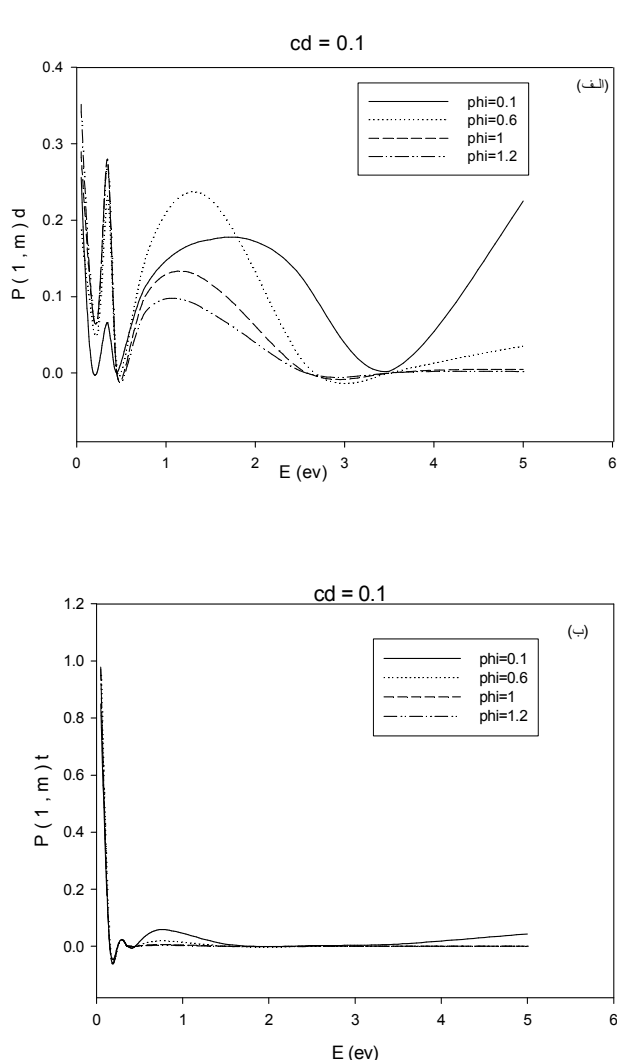
روش	زمان والنگیختگی	
	اتم $d\mu$	اتم $t\mu$
سينماتیک	$2/7 \times 10^{-11}$ s	$2/8 \times 10^{-11}$ s
شبیه سازی مونت کارلو [۲۰]	$2/4 \times 10^{-11}$ s	$2/1 \times 10^{-11}$ s

زمانهای والنگیختگی به دست آمده از روش مونت کارلو [۲۰] که در جدول ۳ آورده شده است، از توافق خوبی برخوردار است.

تمام اتمهای $d\mu$ که در حالت برانگیخته تشکیل می‌شوند، موفق به گذار به حالت پایه نمی‌شوند. بنابراین کمیت احتمال رسیدن به حالت پایه برای اتمهای $d\mu$ تعریف می‌شود که با پارامتر q_{1s} نشان داده می‌شود. این کمیت در بررسی چرخه $CF\mu$ کمیت مهمی است. برای محاسبه q_{1s} در ابتدا با توجه به نمودارهای تغییر جمعیت کل تراز $n=1$ به تمام گروههای انرژی، زمانی را که جمعیت تراز $n=1$ به مقدار ثابتی می‌رسند را از روی نمودار پیدا می‌کنیم (شکل ۴). در این لحظه از زمان که با توجه به شکل ۴ برابر است با $s = 2 \times 10^{-10}$ ، مجموع جمعیت ($1s$) برای اتم $d\mu$ در تمام گروههای انرژی را استخراج می‌کنیم. طبق تعریف پارامتر q_{1s} را که عبارت است از احتمال رسیدن اتم $d\mu$ به

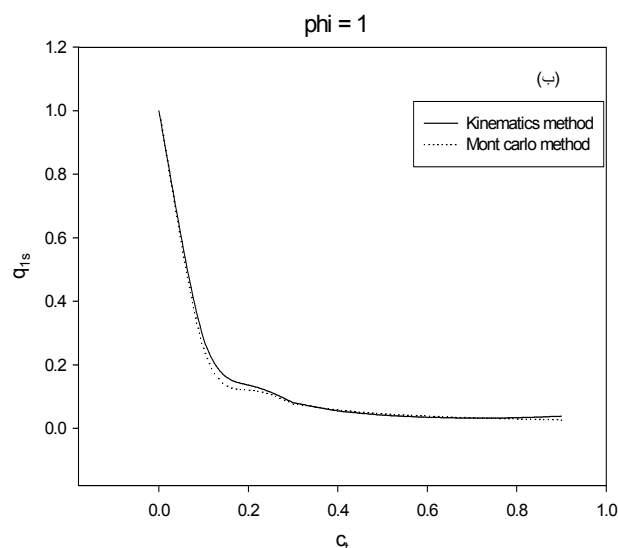
$n=1$ ، دوباره جمعیت تراز خالی می‌شود و اتم میوندار به حالت‌های پاییتر انرژی می‌رود و فقط تراز $n=1$ است که جمعیت در آن پر می‌شود تا لحظه‌ای که دیگر جمعیت در این تراز افزایش پیدا نمی‌کند و همه اتمهای میوندار به حالت پایه رسیده‌اند.

در نمودارهای زمان متوسط گذار اتم میوندار به حالت پایه، شکل ۷، می‌توان زمان والنگیختگی اتم میوندار را نیز به دست آورد. این زمان برای اتم $d\mu$ مربوط به نقطه‌ای است که غاظت محیط خالص باشد؛ یعنی $c_d = c_t = 0$ (یعنی $c_d + c_t = 1$) و چون محیط فقط شامل مولکولهای دوتریم است، انتقال میون به ایزوتوپ دیگر در گذارهای آبشار میونی وجود ندارد و زمان محاسبه شده فقط بیانگر زمان متوسط گذار آبشاری به $1s$ در اتم $d\mu$ است. برای اتم $t\mu$ نیز این زمان مربوط به نقطه‌ای روی شکل ۷ می‌شود که $c_t = 1$ است و در نتیجه باز هم انتقال میون در محیط وجود ندارد. مشاهده شد که این زمانها با نتایج قبلی که در آنها زمان والنگیختگی اتمهای میوندار به دست آمده است [۱۸] و با



شکل ۹. طیف انرژی برای غلظت $c_d = 0.1$. (الف) برای اتم $d\mu$ و (ب) برای اتم $t\mu$.

نکته‌ای که باید به آن توجه شود این است که جمعیت در هر گروه انرژی نسبت به جمعیت کل گروههای انرژی آن تراز بهنجار می‌شود. در شکلهای ۹، ۱۰ و ۱۱ طیف انرژی اتمهای $d\mu$ و $t\mu$ در غلظت $c_d = 0.1$ و $c_d = 0.5$ و $c_d = 0.9$ در $\varphi = 1/2$ و $\varphi = 1/6$ رسم شده‌اند. چگالیهای $\varphi = 1/1$ و $\varphi = 1/6$ رسم شده‌اند. نکته حائز اهمیت در این نمودارها این است که طیف انرژی ماکسولی نیست و به دلیل فرآیندهای برخوردی از جمله گذار کولمبی و انتقال میون که فرآیندهای انرژی زا هستند، گروه انرژی اتم بعد از برخورد اتم، به گروه انرژی بالاتر، به خصوص



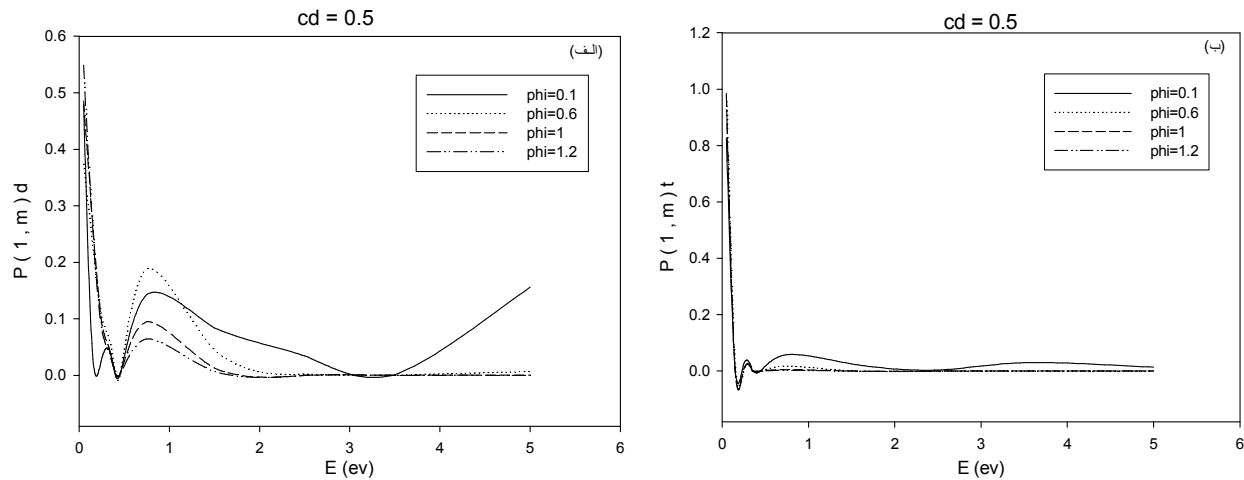
شکل ۸ مقایسه نمودار کمیت q_{1s} از روش سینماتیک و شبیه سازی مونت کارلو

حالت ۱۸، محاسبه می‌کنیم.

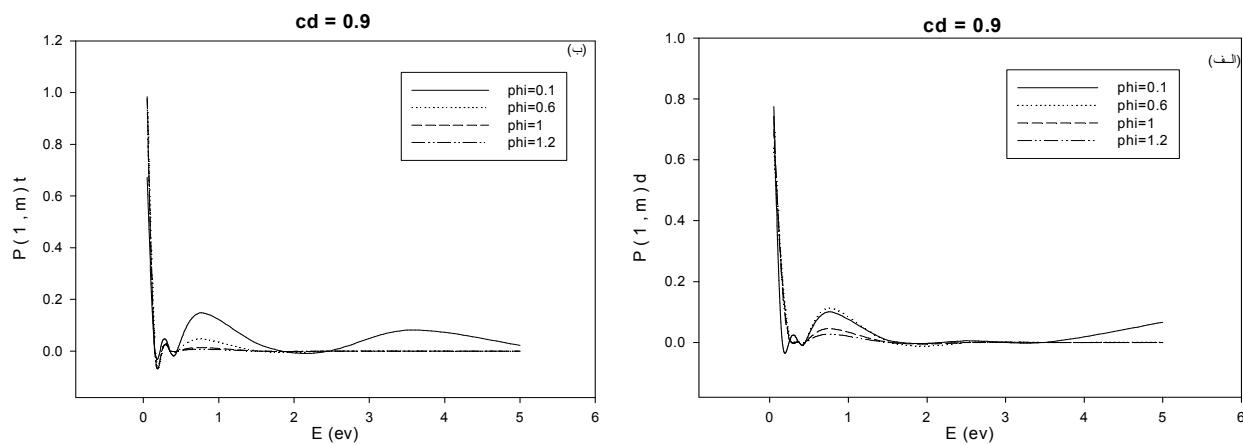
$$q_{1s} = \frac{\sum p_{md}(t)}{c_d} . \quad (18)$$

این کمیت را نسبت به غلظت‌های مختلف c_d و در چگالیهای مختلف محاسبه کردہ‌ایم و آنها را با شبیه سازی مونت کارلو مقایسه کردہ‌ایم. شکل ۸ نشان می‌دهند که مقدار محاسبه q_{1s} از روش حل معادلات سینماتیکی با مقدار حاصل از روش مونت کارلو [۲۰] توافق خوبی دارد.

روش گروه‌بندی انرژی ما را قادر می‌سازد تا طیف انرژی اتمهای میوندار را در هر تراز n از جمله حالت پایه استخراج کیم. برای رسم طیف انرژی اتمهای $d\mu$ و $t\mu$ در حالت پایه، جمعیت در هر گروه انرژی مربوط به تراز $n=1$ را نسبت به انرژی گروههای انرژی در زمانی که جمعیت اتمهای $d\mu$ و $t\mu$ نسبت به زمان تقریباً ثابت می‌شوند و اکثر اتمها به حالت پایه رسیده‌اند، رسم می‌کنیم. با استفاده از شکل ۵ این لحظه تقریباً برابر با $s^{-2} \times 10^{-10}$ به دست می‌آید. دقت شود که طیف انرژی در لحظه‌های مختلف، با هم فرق دارند. با استفاده از گروه‌بندی ریزتر می‌توان به نتایج دقیقتری دست یافت ولی با اضافه کردن یک گروه جدید، ۲۴ معادله به دستگاه معادلات اضافه خواهد شد و باعث بالا رفتن حجم محاسبات می‌شود.



شکل ۱۰. طیف انرژی برای غلظت $c_d = 0.5$. (الف) برای اتم $d\mu_s$ و (ب) برای اتم $t\mu_s$



شکل ۱۱. طیف انرژی برای غلظت $c_d = 0.9$. (الف) برای اتم $d\mu_s$ و (ب) برای اتم $t\mu_s$

برخوردی گذار به انرژی جنبشی، تقریب مناسبی نیست. همچنین از نتایج استخراج شده برای طیف انرژی اتمهای میوندار در حالت پایه می‌توان در حل چرخه CF_μ که در آن تشکیل مولکول میوندار وابسته به انرژی برخوردی اتم میوندار در حالت پایه است، استفاده کرد. علاوه بر این روش ارائه شده در این مقاله می‌تواند در بررسی گذارهای آبشاری سایر اتمهای اگزوتیک به کار رود.

$m = 10$ می‌رود و باعث افزایش دنباله طیف در انرژیهای زیاد، شده است.

شایان ذکر است که روش گروه‌بندی انرژی که در این مقاله استفاده شده است، ما را قادر ساخته است تا علاوه بر اینکه تأثیر انرژی جنبشی اتمهای میوندار را در فرآیندهای برخوردی گذار به حساب بیاوریم، بتوانیم طیف انرژی جنبشی اتمهای میوندار در حالت پایه را نیز استخراج کنیم. در کارهای مشابه [۲، ۱۹] معادلات سینماتیکی در انرژی ثابت (در یک گروه انرژی) حل شده است که به دلیل وابستگی فرآیندهای

مراجع

12. L I Ponomarev and E A Solov'ev, *Hyperfine Interactions*, **119** (1999) 55-62.
13. محمد ترکیهای اصفهانی، پایان نامه کارشناسی ارشد فیزیک، دانشگاه صنعتی اصفهان، (۱۳۸۳).
14. P Froelich, *Advances in Phys.*, **41** (1992) 5405-508.
15. R J Blin-stoyle, *Nuclear and Particle Physics*, Chapman and hall (1992).
16. J J Sakurai, "Modern Quantum Mechanics.", Academic Press (1999) 406-508.
17. V E Markushin, *Phys. Rev. A.*, **50** (1994) 1137.
18. V Bystritsky, W Czaplinski, M Filipowicz, E Gula and N Popov, *Eur. Phys. J. D.* (2005) 75.
19. J S Cohen, *Phys. Rev. A.*, **34** (1986) 1.
20. سید ظفراله کلاتری و مرتضی رئیسی، کنفرانس هسته‌ای ایران، مشهد (۱۳۸۴).
1. G Beer, et al., *Phys. Rev. Lett.*, **94** (2005) 212302.
 2. N L Bodanova, V E Markushin, V S. Melezlik and L I Ponomarev, *Sov. Phys JETP*, **56** (1982) 5-931.
 3. M R Eskandari, et al., *Iranian Journal of Sci. & Tech.A*, **25** (2001) 355.
 4. S Z Kalantari, *Hyperfine Interactions*, **128** (2000) 481.
 5. W Czaplinski, A Gula, A Kravtson, A Mikhilov and N Popov, *Phys. Rev. A.*, **50** (1994) 1-525.
 6. T S Jensen, V E Markushin, *arXiv: nucl-th / 9812019*, (1983).
 7. V E Markushin, *Hyperfine Interactions*, **119** (1999) 11-21.
 8. B Lauss, *Phys. Let.*, **76**, 25 (1976).
 9. M Leon, H Beth, *Phys. Rev.*, **127** (1962).
 10. D Chatellard, et al., *Phys. Rev. A.*, **60** (1999) 209.
 11. M C Struensee ,and J S Cohen, *Phys. Rev. A.*, **38** (1988) 1-44.